

УДК 539.1.07

## ОПРЕДЕЛЕНИЕ ПРОСТРАНСТВЕННОГО ПОЛОЖЕНИЯ СИГНАЛЬНЫХ НИТЕЙ В ДРЕЙФОВЫХ ТРУБКАХ С ПОМОЩЬЮ ПУЧКА РЕНТГЕНОВСКИХ КВАНТОВ

*И.Р.Бойко, Л.С.Вертоградов, В.И.Додонов,  
В.В.Журавлев, М.А.Игнатенко, З.В.Крумштейн,  
М.Ю.Николенко, Г.А.Шелков*

Исследованы два метода определения пространственного положения сигнальных проволочек в алюминиевых дрейфовых трубках при сканировании их пучком рентгеновских квантов. Показано, что положение проволочки можно определить с точностью лучше 1 мкм по координате ее тени. Другой метод, основанный на нахождении центра тяжести в зависимости скорости счета самой трубки, работающей в режиме пропорционального счетчика, от координаты положения пучка, также дает высокую точность. При сканировании с шагом 50 мкм получена точность ~ 3 мкм. Существенное улучшение в соотношении сигнал-фон удалось получить путем добавления к углекислому газу 16% O<sub>2</sub>.

Работа выполнена в Лаборатории ядерных проблем ОИЯИ.

### Determination of the Spatial Position of the Sensitive Wires in the Drift Tubes with an X-Rays Beam

*I.R.Boyko et al.*

The two methods of finding of the sensitive wires positions in the aluminium drift tubes were tested using an X-rays beam. The wire positions can be determined with precision better than 1  $\mu\text{m}$  from its shadow coordinate. Another method based on the determination of the center of gravity in the count rate dependence on the beam position also gives a high precision. With a beam step 50  $\mu\text{m}$  the precision of wire position at the level of 3  $\mu\text{m}$  was obtained. An essential improving in the signal-to-background ratio was obtained by adding 16% of oxygen to the CO<sub>2</sub>.

The investigation has been performed at the Laboratory of Nuclear Problems, JINR.

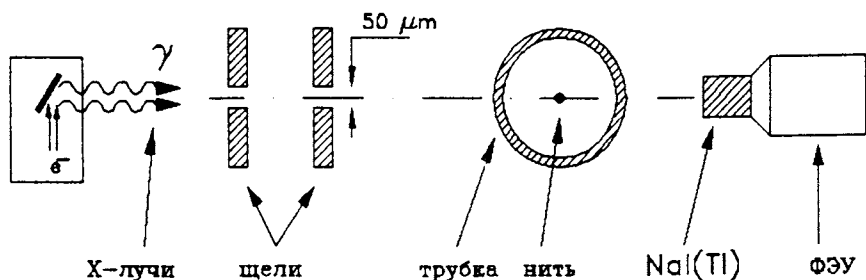
#### 1. Введение

Одним из важных вопросов производства модулей дрейфовых трубок для универсального детектора АТЛАС [1] является проверка механической точности установки сигнальных нитей внутри трубок, а также их взаимного расположения внутри модулей. Для этой цели в [2] было предложено сканировать коллимированным пучком рентгеновских квантов мюонные модули и регистрировать с помощью детектора гамма-квантов положение теней от нитей (пассивный метод). Этот метод основан на различной

поглощающей способности алюминиевых стенок трубок и вольфрамовых нитей и, как было показано в [3], может обеспечить высокую точность определения пространственного расположения нитей. Однако пассивный метод имеет существенный недостаток. При сканировании модулей больших размеров необходимо контролировать с высокой точностью пространственное положение пучка, которое задается взаимным расположением коллиматоров, находящихся впереди и сзади тестируемого модуля, на протяжении всей длины сканирования, что является достаточно сложной технической задачей.

Другой способ нахождения положения проволочек внутри трубок базируется на различной фотопоглощающей способности проволочки и газа внутри трубы (активный метод). Когда пучок рентгеновских квантов попадает на нить, большое количество рождающихся в нити фотоэлектронов выходит в газовый объем трубы и может быть зарегистрировано, если трубка работает как, например, обычный пропорциональный счетчик. В [4] путем нахождения центра тяжести в зависимости скорости счета трубы от положения пучка рентгеновских квантов удалось восстановить с высокой точностью координаты проволочек в лавсановых трубках, наполненных смесью  $70\% \text{Xe} + 20\% \text{CF}_4 + 10\% \text{CO}_2$ .

### Активный метод



### Пассивный метод

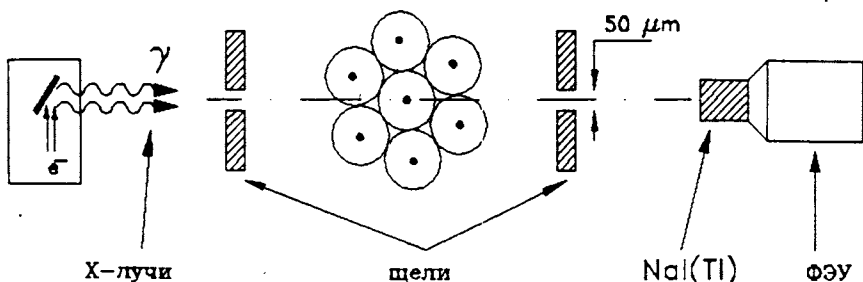


Рис.1. Схема измерения положения проволочек внутри дрейфовых трубок

## 2. Аппаратура

Схема измерений положения проволочек внутри дрейфовых трубок приведена на рис.1. В пассивном методе три слоя алюминиевых трубок с внешним диаметром 3 см и с толщиной стенок 0,5 мм с натянутыми внутри них вольфрамовыми нитями диаметром 50 мкм были помещены между двумя tantalовыми коллиматорами, расположенными на расстоянии 20 см. Ширина щелей составляла 50 мкм. Интенсивность прошедшего алюминиевые трубки пучка рентгеновских квантов измерялась с помощью сцинтилляционного счетчика с кристаллом  $\text{NaJ}(\text{Tl})$  диаметром 15 мм и высотой 30 мм, который размещался непосредственно за вторым коллиматором.

В активном методе пучок рентгеновских квантов также формировался двумя коллиматорами шириной 50 мкм, расположенными на расстоянии 15 см друг от друга. В этом случае определялось положение сигнальной проволочки только в одной трубке. Сцинтилляционный счетчик при этом использовался как монитор интенсивности прошедшего через дрейфовую трубку пучка. Тестируемые трубы работали в пропорциональном режиме. Сигнал с проволочки усиливался токовым усилителем с коэффициентом усиления 70 и подавался на дискриминатор с порогом 7 мВ/50 Ом.

Дрейфовые трубы располагались на подвижной платформе, которая могла перемещаться поперек пучка на расстояние 18 мм с точностью 5 мкм.

В качестве источника рентгеновских квантов использовалась трубка БСВ-21 с вольфрамовым анодом. Размер электронного пятна на аноде этой трубы —  $0,2 \times 8 \text{ мм}^2$ . Рабочее напряжение на рентгеновской трубке было около 20 кВ. На рис.2 представлен энергетический спектр пучка фотонов, прошедшего слой алюминия

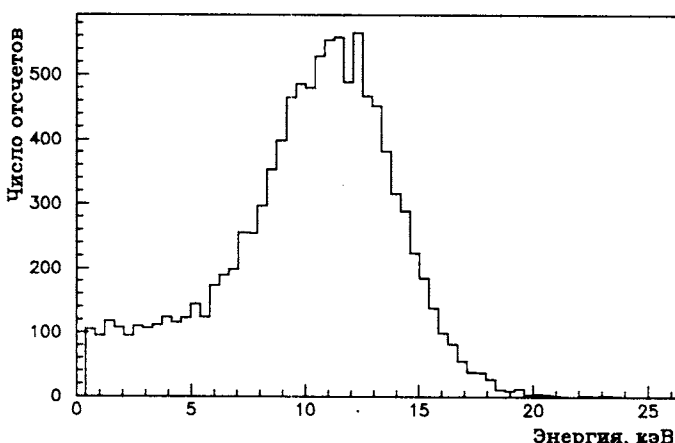


Рис.2. Энергетический спектр рентгеновского пучка после алюминиевого фильтра толщиной 0,5 мм. Напряжение на рентгеновской трубке — 15 кВ.

толщиной 0,5 мм, измеренный с помощью сцинтиляционного счетчика с кристаллом NaI(Tl), когда напряжение на рентгеновской трубке было 15 кВ. Калибровка амплитуд сигналов со счетчика производилась с помощью набора образцовых гамма-источников, испускающих фотоны в рентгеновском диапазоне. Видно, что основная часть низкоэнергетических фотонов поглощалась в аноде самой рентгеновской трубы и алюминиевой стенке исследуемой трубы. Фактически сканирование производилось пучком фотонов с энергетическим разбросом ~ 25%.

### 3. Результаты измерений

#### а) Пассивный метод

На рис.3 показана скорость счета сцинтиляционного счетчика в зависимости от положения пучка рентгеновских фотонов при сканировании с шагом 20 мкм трех слоев дрейфовых трубок. Тени от трех нитей, расположавшихся в различных слоях трубок, отчетливо видны. Точность определения положения тени при данной статистике меньше 1 мкм и определяется точностью шага сканирования. Увеличение ширины щелей коллиматоров приводит к ухудшению соотношения сигнал-фон. Так, для коллиматоров шириной 50 мкм это отношение ~ 10%, а для коллиматоров со щелями 100 мкм оно составляет уже ~ 35%.

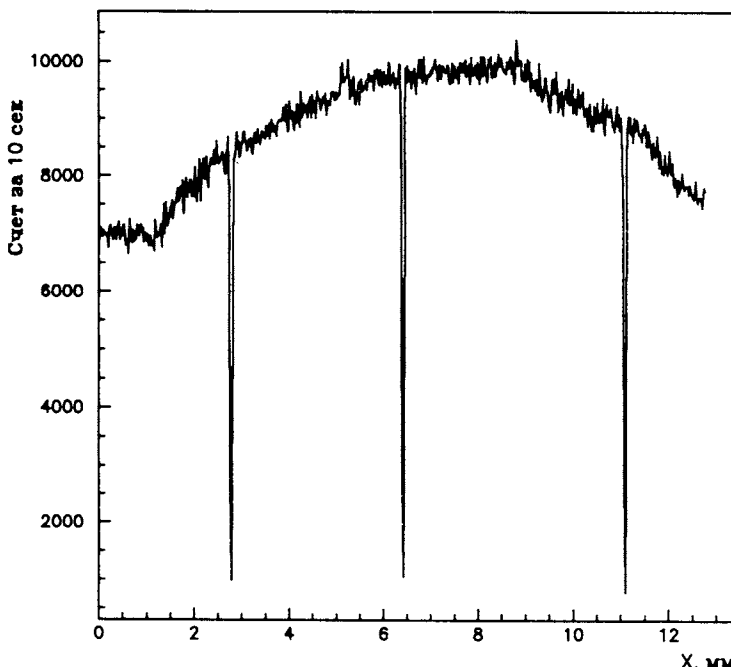


Рис.3. Зависимость счета сцинтиляционного счетчика от положения рентгеновского пучка

### б) Активный метод

Основной задачей выбора рабочих условий в активном методе является усиление отклика трубы на взаимодействие рентгеновского пучка с сигнальной проволочкой и ослабление счета от взаимодействия пучка со стенками и газом трубы. На рис.4а приведены зависимости скоростей счета монитора и дрейфовой трубы с внутренним диаметром 6 мм и толщиной сигнальной вольфрамовой проволочки 20 мкм, наполненной газовой смесью  $\text{Ar} + 30\% \text{CO}_2$ , от положения рентгеновского пучка. Счет трубы непрерывно возрастал пропорционально количеству газа на пути пучка при приближении к центру. Эффектов от взаимодействия пучка с вольфрамовой нитью или с алюминиевой стенкой не было видно. Это объясняется значительным сечением фот-

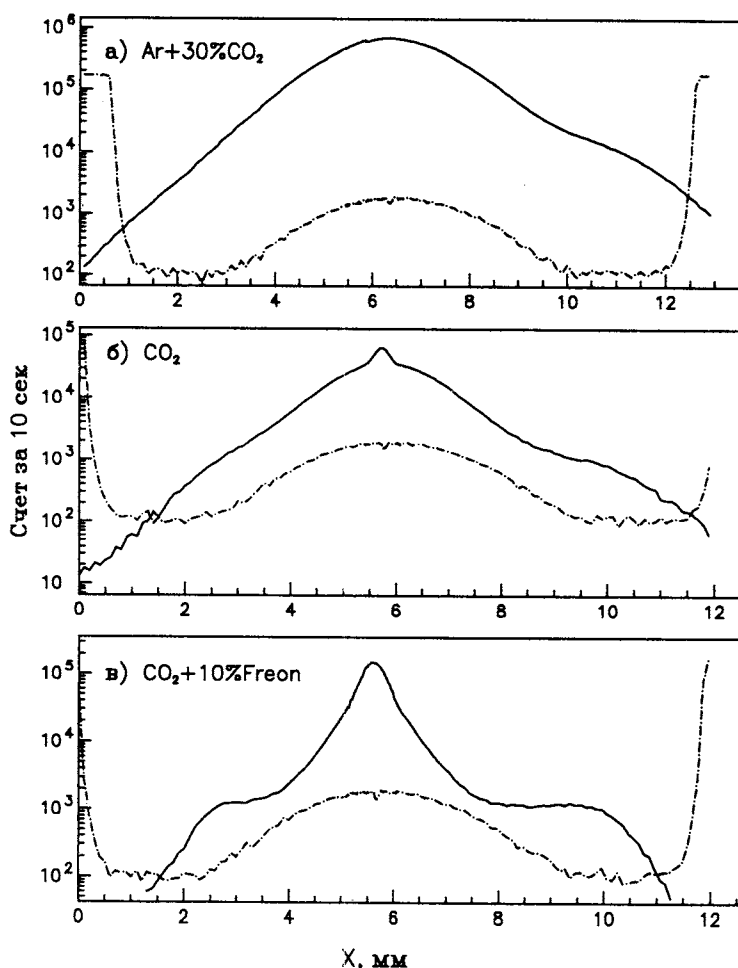


Рис.4. Счет сцинтилляционного счетчика (пунктир) и дрейфовой трубы (сплошная линия) в зависимости от положения рентгеновского пучка

поглощения рентгеновских квантов с энергиями меньше 20 кэВ атомами аргона [5]. Поэтому в дальнейшем использовались только газовые смеси, не содержащие аргона. На рис. 4б приведены результаты измерений при наполнении дрейфовой трубы углекислым газом. Видно, что на фоне широкого максимума, связанного с взаимодействием пучка с газом, отчетливо проявляется пик, вызванный взаимодействием пучка с сигнальной проволочкой.

С целью улучшения соотношения сигнал-фон к углекислому газу было добавлено 10% фреона (13  $B_1$ ). Фреон относится к электроотрицательным газам, которые обладают способностью захватывать свободные электроны, образующиеся в результате прохождения ионизирующего излучения. Результаты измерений приведены на рис.4б. Добавка к  $CO_2$  10% фреона привела к существенному уменьшению счета трубы, когда пучок проходит вдали от сигнальной нити. Пики, связанные с взаимодействием пучка с газом и нитью, слились в один, ширина которого составила 1,2 мм.

Значительно большим сечением захвата свободных электронов обладает кислород. На рис.5 представлены скорости счета монитора и дрейфовой трубы диаметром 30 мм с вольфрамовой проволокой диаметром 50 мкм в зависимости от положения коллимированного пучка фотонов при наполнении трубы углекислым газом и смесью  $CO_2$  и 16% кислорода. В этих измерениях трубка передвигалась с шагом 0,5 мм, а в области

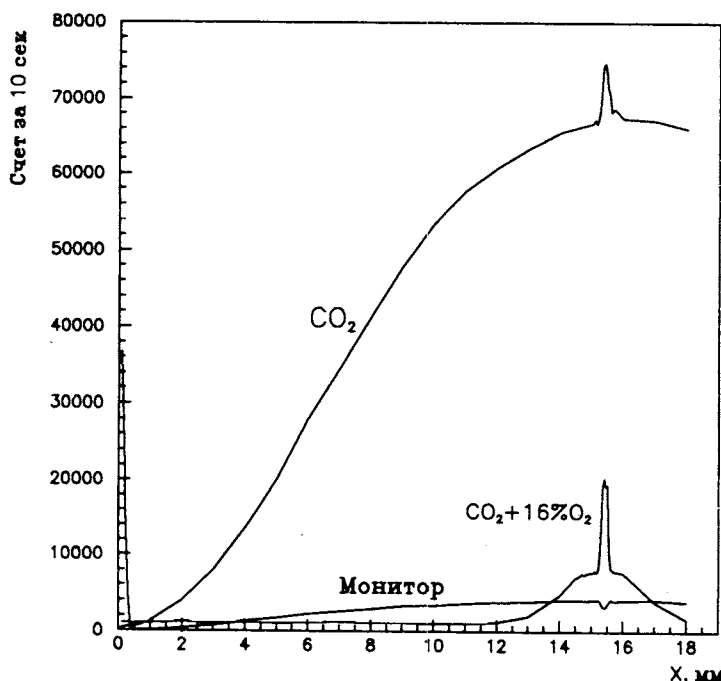


Рис.5. Счет монитора и дрейфовой трубы при наполнении углекислым газом и смесью  $CO_2 + 16\% O_2$  в зависимости от положения рентгеновского пучка

ближе к нити шаг был 50 мкм. Добавление 16% кислорода приводит к почти полной потере эффективности трубкой вдали от анодной нити, и только в области радиусом ~ 2 мм вокруг проволочки заметен эффект взаимодействия фотонов в газе. При этом эффект регистрации фотоэлектронов, образовавшихся на проволочке, отчетливо проявляется на фоне эффекта от взаимодействия в газе. Соотношение сигнал-фон улучшилось более, чем в 15 раз. Фитирование пиков, вызванных взаимодействием пучка с нитью, распределением Гаусса дало ошибку в определении положения центра тяжести ~ 3 мкм. Варьирование концентрации кислорода в смеси с в пределах от 10 до 50% не привело к какому-либо улучшению в соотношении сигнал-фон.

### 3. Заключение

В заключение сравним преимущества и недостатки обоих методов для X-томографии мюонных модулей. Пассивный метод более прост в реализации сканирования небольших по размеру модулей. Соотношение сигнал-фон в этом методе значительно лучше. Нет необходимости поддерживать системы считывания информации и газового обеспечения. Однако осуществлять контроль положения узкого пучка с точностью несколько микрон на базе нескольких метров — наиболее сложная техническая задача при реализации этого метода. Активный метод сканирования также показал свою эффективность и высокую точность. Он позволяет производить коллимацию рентгеновского пучка более простым способом и, в принципе, не требует перемещения рентгеновского источника (сканирование может осуществляться за счет поворота рентгеновского пучка). Оба исследованных метода могут найти применение для томографии мюонных модулей установки ATLAS.

### Литература

1. ATLAS Technical Proposal for a General-Purpose pp Experiment at the Large Hadron Collider at CERN, CERN/LHC/94-43, LHCC/P2, 15 December 1994.
2. Vertogradov L. — ATLAS Internal Note, Muon-No-041, May 1994.
3. Bonyushkin Yu. et al. — Proposal for Tomograph Coordinate Calibration of Drift Tube Packages, EMPIACT Internal Note-240, 24 July 1990.
4. Fedin O., Mouraviev S., Smirnov A. — The First Results of a TRD Cell Prototype Alignment Test with 36 keV X-ray Beam, Atlas Internal Note, INDET-No-057, 1994.
5. Baranov S.A. et al. — Gamma Sensitivity of Pressurized Drift Tubes, ATLAS Internal Note, Muon-No-036, February, 1994.